

## 古藪～沙坪間 道路 水害復舊工事 工 事 報 告 書

沈 在 九 \*  
金 寬 浩 \*\*  
朴 昌 玉 \*\*\*

### I. 工事概要

- 1) 工事名: 古藪～沙坪間 道路 水害復舊工事
- 2) 發注處: 忠清北道
- 3) 位置: 忠北 丹陽郡 大岡面 古藪里～佳谷面 沙坪里 사이에 所在한 地方道 595 號線 (丹陽～寧越 線)
- 4) 工事期間: 87. 11. 9 ~
- 5) 工事規模
  - ① 地盤改良  
道路延長: 370m  
改良總深度: 5,876M (492孔)
  - ② 附帶構造物  
6種 1,180M
- 6) 施工會社: (株)標準開發

### 2. 現場概要

#### 1) 道路概要

忠北 丹陽郡에 位置한 古藪洞窟을 지나 救仁寺와 江原道 寧越에 이르는 地方道 595 號線으로써 來訪客이 많은 觀光道路이며 既存 非鋪裝道路(總延長 6,006m, 道路幅 8m)을 1982 年度에 鋪裝幅 6m의 아스팔트 鋪裝(設計速度: 平地部 40km/hr, 山地部 20km/hr)으로 設計하여

施工하였으며 交通量은 87年 現在 總 939台/日 (建設部 “全國 交通量 調査”: 乘用車 253, Bus 大型 111, 小型 96, 貨物車 大型 51, 中型 132, 小型 232 其他 64)인 第3種 地方道이다.



사진 1. 도로전경

#### 2) 周邊現況

##### ① 道路位置圖 (그림 1)

##### ② 道路 擴張 및 鋪裝工事

既存 非鋪裝 道路의 路幅狹小와 路面不良을 解決하기 위하여 擴幅 및 Asphalt 鋪裝을 82. 7 ~ 83. 8月 (14個月)에 걸쳐 施行 하였는바 當時 切土面 勾配는 土砂 1:1, 리핑岩 1:0.5, 發破岩 1:0.3으로, 盛土法面 勾配는 1:1.5로 하였고, 路體內로의 流水를 防止하기 為해 山쪽 切土部側에 側溝를 設置하였다.

\* 正會員, (株)標準開發 專務理事

\*\* 正會員, (株)標準開發 技術部

\*\*\* 忠清北道 道路課長

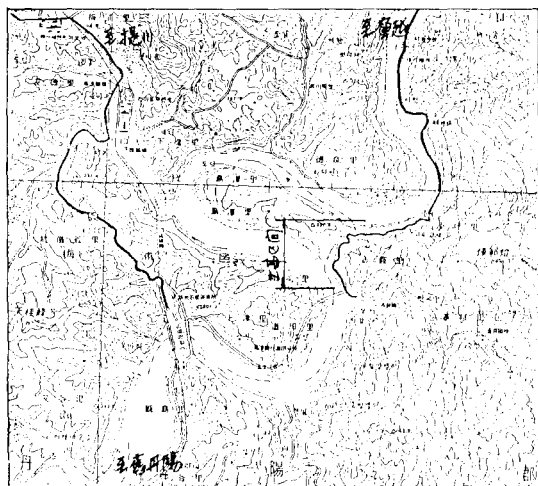


그림 1.

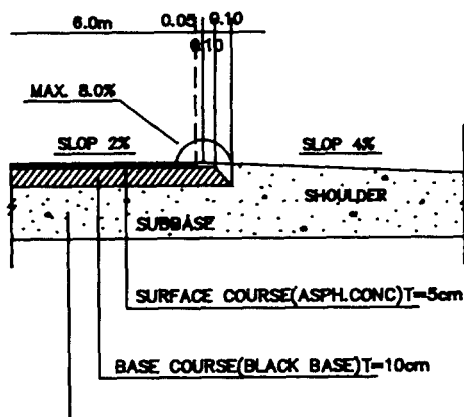


그림 2. 補装標準断面図

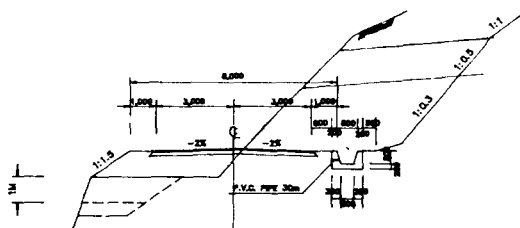


그림 3. 標準 橫斷面図

鋪裝 두께는凍結深度 120cm(建設部發行“凍結指數에 關한 調査報告書”參照)를考慮하여瀝青材料層의 두께 15cm, 非凍復材料層의 두께 40cm를標準으로하였다.

### 3. 事故現況

#### 1) 道路部分

本道路는擴張 및鋪裝工事竣工直後인 1983年 9月 上旬에도部分적으로破損 또는崩壊되어 1次으로 그에對한補修를 하였었으며 그후 1987年 夏期의集中豪雨로因하여急傾斜部分에設置해놓은本道路가區間별로全幅 또는半幅程度가滑動에依한斜面崩壊를일으켜交通疏通에至大한障碍를끼치고있었으며, 특히現狀態에서道路를繼續使用하면車輛荷重의反復載荷와車輛의振動等에依하여斜面崩壊가더進行될可能性이커서언제,어떻게人命이나財產에被害을줄지모를程度로危險한狀況이었다.

#### 2) 附帶構造物部分

本構造物들은大別하여道路橫斷暗渠와道路切土側의無筋콘크리트擁壁과그에附屬되어있는側溝의두가지種類이다.

上記構造物들이道路崩壊의影響을받아縱橫斷上으로어긋났으며龜裂또한많이생겨서擁壁部分은顛倒의危險性도있는實情이있다.

### 4. 原因分析

1983年假窟發生當時忠北道에서學界 및專門家の諮詢을求하였었으며 그때의諮詢內容과 1987年的崩落現像은綜合해서要約해보면 다음과 같다.

文獻에依하면斜面破壞中“Land slide”에比하여小規模로써急傾斜部分에서比較的急速하게斜面이破壊되는것을“斜面崩壊”라고부르고있다.斜面崩壊에는崩壊土砂가原形을維持하지못하고崩落(Fall)하는것과 어느程度原形을가진채“Land slide”式으로滑落(Slip, Slide)하는것이있다.

前者는自然斜面이나切土斜面이急傾斜인境遇에 많고表層崩壊(Surface Failure)로서滑動面이明確하지않은境遇가 많다.

後者는比較的緩傾斜에서深部에軟弱한層을갖는境遇에 많이发生되며이러한種類의崩壊와Land Slide間에는明確한區分을하고있지않다.自然斜面의崩壊는急傾斜인곳은어느곳에서나发生할수있으나一般的으로

로 表土, 단단한 風化岩, 崩積土地域에서 많이 發生되고 豪雨等에 依해서 誘發 된다.

本崩壞區間의 土層은 底部로 부터 基盤岩인 硬質의 石灰岩, 風化岩, 粘土質礫으로 構成 되어 있는 崩積土, 道路를 처음 만들기 為해 山側의 風化岩과 崩積土를 切取하여 反對側에 施行한 盛土로 되어있으며 이는 위에서 言及한 斜面崩壞가 잘 誘發되는 土層에 該當하고 있고 더우기 集中豪雨中에 斜面이 崩壞 되었다.

特히 本區間의 崩積土層은 調査 Boring 時 Boring 用水가 大部分 漏水되어 回收되지 않는 区間이 있을 程度로 安定되지 못하고 느슨한 狀態이며, 그 構成物質은 石灰岩이 風化된 土砂와 자갈, 轉石이 不規則하게 混合되어 있어 飽和가 比較的 잘되는 便이라 할 수 있고, 2工區의 境遇는 平素에도 道路 윗쪽의 鐵山에서 내려오는 물이 끊임없이 道路쪽으로 흐르고 있다.

또한 자갈과 轉石은 薄片이나 길쭉한 모양을 하고 있기 때문에 石灰岩의 表面이 比較的 미끄럽다는 特性을勘案하면 本崩積土層은 力學的으로 大端히 不利한 土層이라 하겠다.

따라서 本斜面의 崩壞는

1) 本區間의 土層은 力學的으로 매우 不安定한 土層인데다가

2) 土層 自體가 느슨하고 飽和가 잘 되는 土質이기 때문에 集中豪雨에 依하여 土層全體가 빠른 速度로 飽和되자 그 速度에 比例하여 흙의 單位重量이 커지고 흙의 剪斷強度의 低下가 急速하게 進行됨에 따라 그 自重을 이기지 못하고 崩壞 되었다고 할 수 있으며

3) 上記 原因에 덧 붙여 集中豪雨로 因하여 土層內部에 浸透水流가 생겨 이에 의한 土粒子의 流失도 崩壞原因에 加勢한 것으로 判斷된다.

## 5. 對策

### 1) 對策工法의 選擇

本道路는 原狀復舊를 為하여 遮斷할 境遇,迂迴道路가 없고 또 新設 할 수 없기 때문에 絶對로 遮斷 되어서는 않되므로 이 點을 優先

勘案하여 補修對策을 講究하여야 했다.

그 對策으로서는 다음의 4가지 事項을 考慮해 볼 수 있겠다.

첫째, 崩壞部分을 岩盤까지 파내고 良質의 흙으로 置換 하는 方法과

둘째, 道路를 完全히 切土하여 基盤岩에 設置하는 方法

셋째, 岩盤까지 基礎를 根入시켜서 橋梁으로 건너가는 方法

넷째, 地盤에 硬化材를 注入하여 地盤을 改良시키므로써 道路 全體를 安定시키는 方法 등이 있으나 어느 方法이 本道路 條件에 適合한 것인가를 檢討해 보면 첫째 方法을 施行하기 為해서는 道路를 遮斷(交通杜絕)해야하고 工事費가 크게 所要되는 點等을 고려하여 採擇하기 困難하며, 둘째 方法은 小白山 출기로 海拔 696m인 烽郵燈의 斜面을 切土해야 하는바 그 物量은 大端한 量이 되며 急傾斜인 點을 勘案하면 Land Slide의 危險이 있으므로 그 對備를 徹底히 해야하고 그것이 不可能한 位置에서는 Tunnel 工法을 擇해야 하므로 古藪洞窟을 毀損시켜야 하는 問題點이 있다.

셋째 方法은 現狀態에서 振動을 주지 않기 為하여 Pre-Drilling에 依해 말뚝 等을 岩盤에 確實하게 根入시키고 그 上부에 橋梁構造를 갖춰 道路의 機能을 復活시키는 方法인데 現在의 盛土 및 崩積土層을 除去하지 않는 境遇에는 土砂 自體의 滑動을 防止해야 하는 別途의 措置가 必要하게 되고 交通杜絕等 2, 3重의 負担이 되므로 適切하지 못한 方法으로 判斷된다.

넷째 方法은 現在의 不安定한 道路下部의 地盤에 硬化材를 注入하여 그 地盤을 安定시켜 道路의 機能을 復活시키는 方法인데 注入材料와 方法이 몇 가지가 있으나 注入材料로서는 強度低下를 誘發시키는 化工藥品은 除外하고 Cement만을 使用하는 것이 바람직하며 注入方法으로서는

① 靜的인 壓力を 利用하는 一般 Grouting 方法과

②攪拌翼을 使用하는 深層混合處理方法

③動 Energy를 利用하는 高壓噴射注入方法等을 생각할 수 있는바 ①의 方法은 道路를

部通行시키면서도施行할 수 있는方法으로서 작은口径으로穿孔하여注入材를靜的으로低壓注入(通常  $10\text{kg/cm}^2$ 以下)하여地盤을改良하는 것으로小口径이므로어떠한地層이라도掘進이可能하고且經濟의이지만改良部位가不確實하고改良效果의側定이不可能하기 때문에設計時正確한強度定數를探擇할 수 없는短點이 있다.

②의方法은요즈음日本에서普及되기始作한新工法으로相當히많은分野에適用施行되고있으며또發展되고있는工法인데改良部位를確實하게하고改良效果의測定도容易한利點이있으나所要改良部位의直徑과같은크기의攪拌翼을所要深度까지根入시켜工事を施工해야하므로자갈과轉石이많이包含된現地層을大口径의攪拌翼으로掘進하여地盤을改良한다는것은거의不可能하다고判斷된다.

③의方法은上記의두가지方法과마찬가지로道路를全面遮斷하지않고施行할수있는方法으로이또한小口径으로穿孔하여注入材인Cement Paste를 $200\text{kg/cm}^2$ 의超高壓으로地盤中에水平으로噴射시켜地盤을改良하는工法으로써一種의動Energy를利用하는工法이라할수있다.

改良部位와그效果를容易하게確認할수있으나注入材가많이所要되는面이있다.

따라서上記의對策工法中에서現道路利用의繼續性,經濟性,安全性,迅速性等을考慮하여볼때넷째方法의③項인高壓噴射注入工法이當現場에가장合理的인對策工法이라고할수있으며1983年瑕疵發生區間中一部區間(Sta. No 39~No 40 : 20m)을施行했었는데지금까지 좋은成果가있다.

## 2) 對策工法의 說明(J. S. P工法)

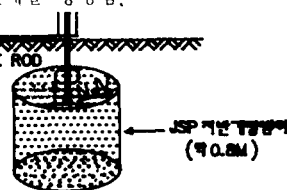
### ① 工法概要

이工法은最近에開發된軟弱地盤改良工法으로써超高壓( $P=200\text{kg/cm}^2$ )의噴流를利用하여地盤을切削崩壞시킴과同時에攪拌混合層에注入材를強制充填시키는一種의誘導注入工法이다.

即Double Rod先端에Jetting Nozzle을裝着하여硬化材(Cement Paste)를水平方向으로噴射,回轉하여Nozzle이1回轉하면自動的に1step(2.5cm)이上昇되고이와같은動作을連續的으로反復하므로써地盤中에圓柱狀의固結體(直徑0.8~1.2m)를造成하는工法이다.(參照:大韓土木學會誌,第29卷2號,1981.4)

이를簡略하게要約해보면 다음과 같다.

表 I J S P 공법 개요

비교부분	공법	고 압 분사 주입 공법
명칭	Jumbo Special Pattern	
공법 재료 분류	시멘트 Paste 초고압분사 공법	지반내에 시멘트 Paste를 고압으로 분사 시켜 토립자를 파쇄 Mixing 함으로써 원주형의 시멘트 고결체를 형성함.
공법 개요		
1) 주입 방식		초고압분사방법 (분사노즐에서 주입제가 직접 공벽 파쇄후 교란 혼합되는, 주입이 아닌 분사 방식이다.)
2) 주입 재료	시멘트	
3) 개량 형태	원주형의 고결체 형성	
4) 주입공개방	주입공을 개방하여 잔류 분사에너지자를 소산 시킴	
5) 주입 공정	1공정식주입(시멘트 단일 분사)	
6) 주입순서	상향회전식 (10.5~13.5초에 1회전하면서 2.5cm씩 자동상승으로 분사됨)	
7) 주입장치	분사 노즐에 의해 천공 Hole 벽으로 직접 분사함.	
8) 적용 토질	점성, 사질, 사력, 전석	
9) 주입후 강도	점성토: $20\sim40\text{kg/cm}^2$ 사질토: $40\sim90\text{kg/cm}^2$ 사력 및 전석: $90\sim150\text{kg/cm}^2$ (core 채취 흠)	

### 공법 장 단점

- 1) 차수 효과가 확실하다.
- 2) 지반강도가 크기 때문에 응용 분야가 다양하다.
- 3) 지반개량 효과가 확실하다.
- 4) 시멘트 소요량이 크다.  
(383~492kg/M)

### ② 工法의 system

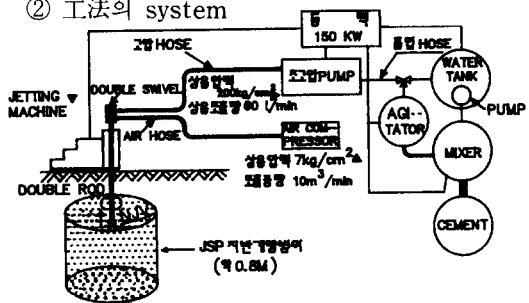


그림 4. 工法의 System

### ③ 使用裝備 及 器機

- 超高壓 Pump( $P = 200 \text{ kg/cm}^2$ ) : 2台
- Jetting Machine : 4台
- 發電機(150KwH) : 2台
- 空氣壓縮機(365CFM) : 2台
- Cement Mixer : 2set
- Agitator : 2set
- 穿孔機(Hong Drill) : 2台
- 水槽: 3set
- Oil Tank : 2set
- 揚水機: 2台

## 6. 設 計

### 1) 設計條件

① JSP 의 設計基準強度:  $\sigma_{ck} = 40 \text{ kg/cm}^2$

② JSP 的 許容剪斷強度

$$\tau_a : \frac{\sigma_{ck}}{7} = \frac{40}{7} = 5.7 \text{ kg/cm}^2$$

\*  $F_s = 7$ : 日本 土質工學會 “岩의 工學的性質 及 設計, 施工과 應用”

$$D_{la} = 0.8 \text{ m}$$

$$A = \frac{\pi (0.8)^2}{4} = 0.502 \text{ m}^2$$

∴ 1本當 許容剪斷強度  
:  $57 \text{ ton/m}^2 \times 0.502 \text{ m}^2 \approx 28 \text{ ton/本}$

### ③ 흙의 單位重量

濕潤單位重量  $\gamma_l = 1.7 \text{ ton/m}^3$

飽和單位重量  $\gamma_{sat} = 2.0 \text{ ton/m}^3$

水中單位重量  $\gamma_{sub} = 1.0 \text{ ton/m}^3$

### ④ 滑動 對한 安全率

$$F_s = 1.2 \text{ 以上}$$

### 2) 全幅補強區間

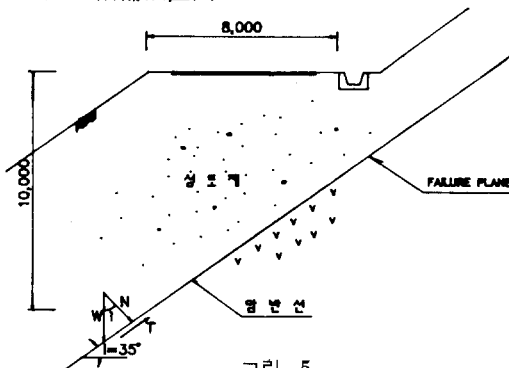


그림 5.

a. 滑動斜面: 岩盤線과 崩積土 또는 風化岩의 境界面을 따라 發生하는 것으로 보며 粘着力  $c=0$ 로 함.

b. 滑動斜面의 平均深度는 10m로 함.

c. 原地盤의 기울기는  $i = 35^\circ$ 로 함.

### ① 剪斷強度 計算

$$\bar{\sigma} = (\sigma - u)$$

$$N = W \cdot \cos i$$

$$\sigma = \frac{N}{\sec i} = W \cdot \cos^2 i = \gamma_{sat} \cdot z \cdot \cos^2 i$$

$$u = \gamma_w \cdot z \cdot \cos^2 i$$

$$\therefore \bar{\sigma} = (\gamma_{sat} - \gamma_w) \cdot z \cdot \cos^2 i$$

$$= 1.0 \times 10 \times (\cos 35^\circ)^2$$

$$= 6.71 \text{ ton/m}^2$$

$$\therefore S = \bar{\sigma} + \bar{\sigma} \tan \phi = 6.71 \tan \phi$$

$$= 5.63 \text{ ton/m}^2$$

여기서 內部摩擦角  $\phi = 40^\circ$ 로 봄

(文獻: 鄭寅晙·金翔圭 共著 “土質力學” 第8章 흙의 剪斷強度)

### ② 剪斷應力 計算

$$T = W \cdot \sin i$$

$$\tau = \frac{T}{\sec i} = W \cdot \sin i \cdot \cos i$$

$$\begin{aligned}
 &= \gamma_{sat} \cdot z \cdot \sin i \cdot \cos i \\
 &= 2.0 \times 10 \times \sin 35^\circ \times \cos 35^\circ \\
 &= 9.397 \text{ ton/m}^2
 \end{aligned}$$

$$\begin{aligned}
 l &= \sqrt{5^2 + 8^2} = 9.43 \text{ m} \\
 \therefore F_a &= 5.646 \times 9.43 = 53.2 \text{ TON/m}
 \end{aligned}$$

### ③ 崩壊된 盛土材의 安全率 計算

$$F_s = \frac{S}{\tau} = \frac{5.63}{9.397} = 0.6$$

### ④ 要求되는 抵抗力

$$S_r = 1.2 \tau = 1.2 \times 9.397 = 11.276 \text{ TON/m}^2$$

### ⑤ 不足한 抵抗力

$$\Delta S_r = 11.276 - 5.63 = 5.646 \text{ ton/m}^2$$

道路 單位m當 負担해야 할 抵抗力(道路中心을 基準으로 할 때)

### ⑥ JSP本數 計算

$$n = 53.2 \div 28 \approx 2 \text{ 本/m}$$

### ⑦ JSP配列

全幅을 고루 補強토록 縱方向  $c.t.c = 2.0 \text{ m}$  橫方向  $c.t.c = 1.8 \text{ m}$ 로 하여 ZigZag로 4列配置한다.

### 3) 半幅補強區間

縱方向  $c.t.c = 2.0 \text{ m}$ , 橫方向  $c.t.c = 2.5 \text{ m}$ 로 하여 Zig Zag로 2列配置한다.

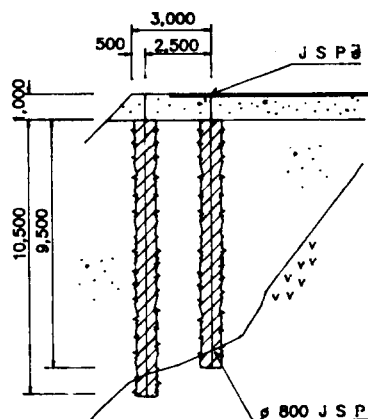
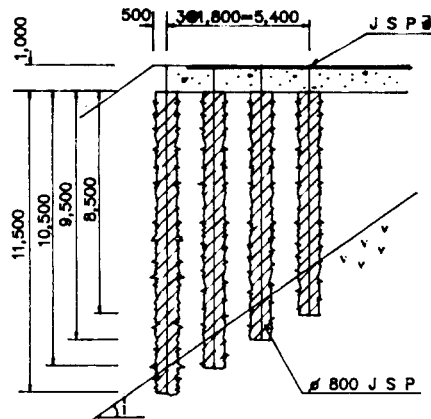
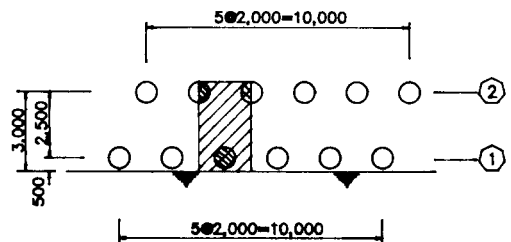
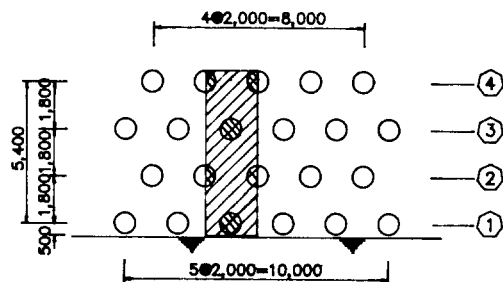


그림 6.

그림 7.

#### 4) 附帶構造物의 補修

##### ① 擁壁補修工

道路擴張, 鋪裝時 施工되었던 두산마을 入口의 擁壁이 過大한 土壓을 받아 甚한 龜裂과 어긋남等이 發生하여 다음과 같이 補修 處理하였다.

###### a. 水平龜裂部

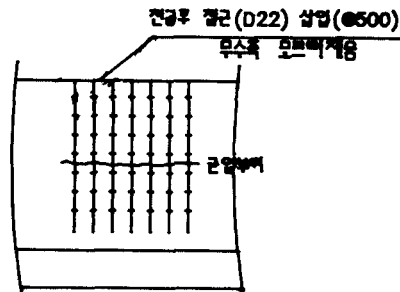


그림 8.

###### b. 垂直龜裂部

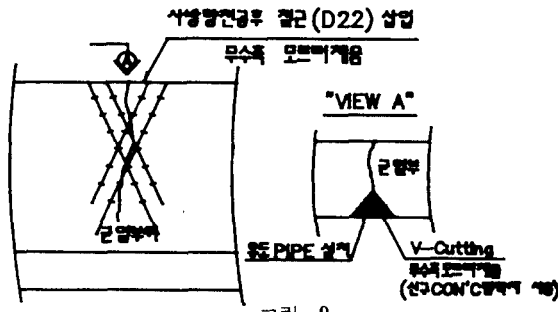


그림 9.

即, 龜裂部位를 鐵筋으로 엮어놓았으며 特히 垂直龜裂部에는 誘導 Pipe를 埋設하여 擁壁 뒷채움쪽으로 부터의 Drain役割을 하도록 하였다.

##### ② 擁壁設置工

表 2 實施工數量

工區別	區間	地質調查孔數	J S P平均深度	J S P孔數	總深度	備考
1	NO 54~56+10 (50m)	4	14.87m	63	936.8m	
2	NO 162+10 ~168+10(120)	8	11.35m	160	1,816.0m	
3	NO 171+10 ~181+10(200)	10	11.61m	269	3,123.2m	
計	370m	22		492	5,876 m	

道路의 한 귀퉁이가 急傾斜를 따라 甚하게 崩壊된 곳에는 急傾斜가 끝나는 地點에 擁壁을 新設하여 法面整理하는 것으로 處理하였다.

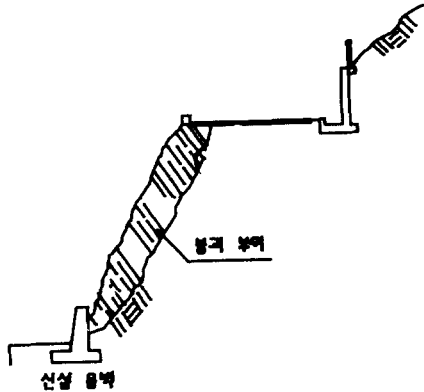


그림 10.

##### ③ 暗渠補修工

既存 翳管 暗渠가 山側으로 부터의 崩壊와 함께 破損되어 제구실을 못하므로 橫斷 Box工 ( $1.0 \times 1.0 \times 13.0\text{m}$ )으로 再施工하고 마침 그 場所가 地盤改良 區間이므로 JSP工으로 下部 및 周邊을 補強하였다.

##### ④ 其他 附帶構造物工

그밖에 깨지거나 一部가 順倒된 側溝 또는 防護壁等을 再施工하여 補修하였다.

## 7. 施工

予想深度는 平均 孔當 10m로 推定하여 設計하였으나 施工前 地質調查를 實施한 바에 따라 區間별로 若干의 差異가 생겼다.

이를 工區別로 要約해 보면 다음과 같다.

## 1) 作業準備

- ① 先地質調査로 改良深度 算定
- ② 所要資材의 繼續的인 確保, 點檢
- ③ 用水의 繼續的인 確保
- ④ 冬節期 作業時 間題點에 對한 對策마련
- ⑤ 裝備 燃料 確保
- ⑥ 交通安全員 配置

## 2) 所要資材

- ① Cement (40kg/대) : 54,660 대
- ② 混和劑(Pozzolith 10L-L : 早強劑) :

26,236 l

凍害防止와 早強効果를 同時に 얻기 위함.

## 3) 施工

石灰岩을 母岩으로 하는 崩積層으로 Jetting 間에 작은 空洞이 있어 Slime이 地上으로 表出되지 않는 境遇가 가끔 發生하였는데 이 때에는 硅酸ソダ를 미리 注入하여 空洞을 메워가면서 施工하였다.

또한 表出되는 Slime을 採取하여 攪亂되는 地層의 現狀態를 觀察하였다.

穿孔과 Jetting 作業을 分離施工하였는데 이는 Hong Drill 裝備의 穿孔能力이 轉石等이 混合된 地層에서 뛰어났기 때문이다. 또한 山間地方의 冬季 氣候를 予側하기 어려워 短期施工에 重點을 두고 曇夜間 作業을 強行하였는데 用水의 結冰을 防止하기 為하여 必要한 保温措置를 取하였으며 또한 曙夜作業을 함으로써 繼續的인 用水의 循環이 結冰을 막아주는 効果도 있었다.

道路의 縱斷勾配는 勾配가 낮은쪽부터 施工하여 注入材의 不必要한 浪費를 抑制하여 施工의 質을 높이는데 힘썼다.

3工區에서는 山側의 切土部分이 滑動하면서 路面이 隆起하여 崩壊된 側溝도 있기 때문에 이를 防止하기 위하여 側溝基礎를 JSP 工으로 Underpinning하였다.

超高壓으로 切削 混合하므로 穿孔徑이 維持되면 Slime이 Rod周邊에서 表出되며 穿孔徑이 維持되지 아니하면 周圍의 軟弱한 곳으로 噴出

하는 것을 볼 수 있었으며 粘性이 많은 地層에서는 Slime의 濃度가 진하며 砂質이 많은 地層에서는 砂의 沈降으로 濃度가 輕어짐을 볼 수 있었다.

또한 基盤岩層에 確實한 定着을 為하여 岩盤線 以下 1m까지를 施工 深度로 決定하였다.



사진2. 시공전경(제 1 공구)

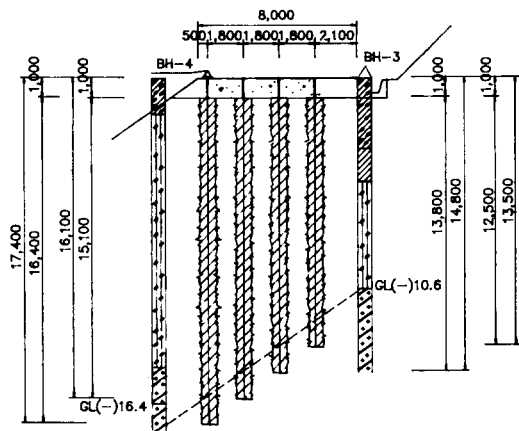


그림 11. 施工標準斷面図

## 8. 檢查

### 1) 試驗施工

硬化材(Cement Paste)가 地中에서 養生되므로 凍害에 對한 念慮는 없었고 試驗孔을 施工하여 材齡 28日이 된 後에 直接파내어 形成된 球根을 肉眼으로 볼 수 있었다. (寫眞 3)

### 2) 一軸壓縮強度 및 諸試驗

施工의 品質管理側面에서 각 工區別로 2孔



사진 3. JSP 試驗孔의 球根

表 3 JSP 試驗 成果表

공시체 NO	시료상태	공시체치수		압축 강도 (kg/cm <sup>2</sup> )	시멘트 합 량 (%)	파괴시 변 위 (%)	단위중량 (g/km <sup>3</sup> )	함수비 (%)	파괴모양	비 고
		지름 (cm)	높이 (cm)							
1	기 건	5.25	10.25	134.3	46.0	0.59	1.717	21.6		제 1 공구 1열 5번 심도 7.0m
2	기 건	5.20	10.70	136.2	57.4	0.47	1.753	19.9		제 1 공구 3열 5번 심도 7.0m
3	기 건	5.25	9.70	126.1	44.5	0.8	1.744	26.7		제 2 공구(80m) 2열 25번 심도 8.0m
4	기 건	5.20	10.30	120.4	53.9	0.87	1.730	28.4		제 2 공구(40m) 2열 10번 심도 7.0m
5	기 건	5.20	10.40	56.5	15.1	0.39	2.085	10.8		제 3 공구(80m) 2열 5번 심도 5.0m
6	기 건	5.20	8.95	48.4	8.4	0.45	2.137	8.4		제 3 공구(70m) 1열 35번 심도 5.0m

써 無作爲로 選定하여 實施한 JSP core (試料片)의 一軸圧縮強度는 忠北道廳의 試驗結果  $\sigma_{cmn} = 48.4 \text{ kg/cm}^2 \sim \sigma_{cmax} = 136.2 \text{ kg/cm}^2$  로써 設計強度  $\sigma_{ck} = 40 \text{ kg/cm}^2$  보다 높게 나타난것을 알 수 있었고 그밖의 Cement 含量, 單位重量, 含水比等의 結果는 다음 表 3과 같다.

上記 表 3에서 보는 바와 같이 砂質이 優勢한 地層에서는 壓縮強度와 Cement 含量이 높게 나타났고 磨質이 優勢한 地層에서는 그 強度와 含量이 相對的으로 떨어지나 이는 조그만 試料片 ( $\phi 52\text{mm}$ )에 包含된 자갈의 크기가 相對

的으로 過大하여 試料片 採取時 Cement Paste와 자갈의 接觸面이 損傷을 입어 強度抵下를 일으킨 것으로 判斷된다. 이는 口徑이 큰 試料 採取機의 開發로 克服될 수 있을 것으로 思料되며 이러한 問題點을 補完하기 為하여 자갈이 많이 섞인 土層에서는 實際로 試驗施工을 行하여 그 結果를 確認하는 것도 重要하다.

## 9. 結論

道路崩壊의 根本의인 原因이 基盤岩과 崩積

土 또는 盛土材와의 境界面에서 發生한 斜面崩壊로 判斷됨에 따라 이 Failure Plane을 安定시키는데 力點을 두고 本 水害復舊工事を 施行하였는바, 基盤岩 上部土層의 剪斷強度를大幅增加시켜 두 異質層의 結束에 重點을 두고 對策工法을 選定하였으며 設計 및 施工後 檢查結果를 볼때 設計當時에 提案한 모든 要素가合理的이 있다고 생각되며 特히 施工狀態의 確認이客觀的으로 나타나므로 (強度試驗 및 形成된球根露出) 本 工事에서 超高壓 噴射注入工法의 適用은 妥當하였다고 判斷된다. 實際 地盤改良

工事는 1987年 12月 24日에 종료되어 현재 사용중이며 以後 繼續 現場狀態를 觀察할 予定인데 이미 1983年에 既 施工한 區間의 成果로 미루어는 볼때는 滿足하다 하겠다.